

**Bohrsches Atommodell:**  $N_{\max} = 2 \cdot n^2$  mit  $N_{\max}$  = max. Anzahl Elektronen/Schale und  $n$  = Schalennummer von innen startend, Sonderregel: Äußerste Schale max. 8 Elektronen (Edelgaskonfi.)

**Eigenschaften:** Halbleiter: 4, Verbindungshalbleiter: 3 oder 5, Metalle: 1 bis 3 Valenzelektronen

**Metallbindung:** Kristallbildung in Metallen Valenzelektronen nicht beteiligt → daher gute Stromleiter

**Elektronenpaarbindung:** Teilen sich Valenzelektronen, Edelgaskonfi möglich → schwer zu lösen → Halbleiter

**Leitungsmechanismen in Halbleiter:** Methode 1.) Eigenleitung Methode 2.) Störstellenleitung

**1.) Eigenleitung:** (bei reinen Halbleitern einzige Methode)

**a) Paarbildung:** Bei Energiezufuhr verlässt Valenzelektron sein Platz, es entsteht Loch, Löcher wandern → positiver Ladungsträger

**b) Rekombination:** freies Elektron wird durch ein Loch wieder eingefangen

$n_i(\text{Silizium}) = 1,5 \cdot 10^{10} \text{ cm}^{-3}$ ,  $T_0$  = Bezugstemperatur (300K),  $[Wg] = \text{eV} \rightarrow \text{mal } 1,6 \cdot 10^{-19} \text{ As}$

Konzentration gleich

$$n_0 = p_0 = n_i = f(T)$$

Gleichgewicht zwischen a) und b)  
Intrinsic-Zahl, Temp-Abhängig

$$n_i = n_{i0} \cdot \left(\frac{T}{T_0}\right)^{\frac{3}{2}} \cdot e^{\frac{W_G \cdot (T - T_0)}{2 \cdot k \cdot T \cdot T_0}}$$

**2.) Störstellenleitung:** Fremdatome werden hinzugefügt (Ziel: Leitfähigkeit erhöhen)

**a) Dotieren mit 5-wertigen Fremdatomen (n-Halbleiter)** (z.B. Phosphor, Arsen)

Fremdatom wird Donator genannt, kleine Ionisierung Energie, negativer Ladungsträger → n-leitender Halbleiter

**b) Dotieren mit 3-wertigen Fremdatomen (p-Halbleiter)** (z.B. Bor, Aluminium)

Fremdatom wird Akzeptor genannt, kleine Ionisierung Energie, positiver Ladungsträger → p-leitender Halbleiter

**Formeln zu 2.)** Ladungsträger im thermodynamischen Gleichgewicht → homogen dotiert → Kristall neutral

Neutralitätsbedingung:  $p_0 + N_D^+ = n_0 + N_A^-$

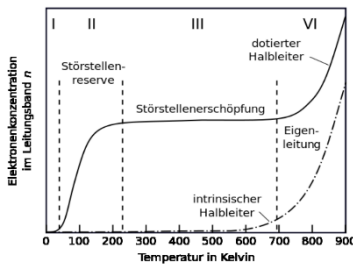
Massenwirkungsgesetz:  $n_0 \cdot p_0 = n_i^2$

Bei einfacher Dotierung ist entweder  $N_D^+$  oder  $N_A^- = 0$

Konzentration der freien Ladungsträger im thermod. Gleichgewicht:

$$n_0 = \frac{1}{2} \left( N_D^+ - N_A^- + \sqrt{(N_D^+ - N_A^-)^2 + 4 \cdot n_i^2} \right)$$

$$p_0 = \frac{1}{2} \left( N_A^- - N_D^+ + \sqrt{(N_A^- - N_D^+)^2 + 4 \cdot n_i^2} \right)$$



**Majoritätsträger:** aus Dotierung → bei n-Halbleiter Elektronen  $n_{n0}$  in Überzahl, bei p-Halbleiter Löcher  $p_{p0}$  in Überzahl

**Minoritätsträger:** aus Eigenleitung → bei n-Halbleiter Löcher  $p_{n0}$  in Unterzahl, bei p-Halbleiter sind Elektronen  $n_{p0}$  in Unterzahl

**Ladungsträgerkonzentration im n-leitenden Halbleiter:**

**Einfachdotierung:** (Es wird nur mit  $N_D$  doniert)  $N_D \gg n_i$

**Majoritätsträger-Konzentration:**  $n_{n0} \approx N_D^+ \approx N_D$  (Dotierungskonzentration)

**Minoritätsträger-Konzentration:**  $p_{n0} \approx n_i^2 / N_D$  (Konzentration ist kleiner als die obige)

**Mehrfachdotierung:**  $N_D > N_A$  und  $(N_D - N_A) \gg n_i$

**Majoritätsträger-Konzentration:**  $n_{n0} \approx N_D^+ - N_A^- \approx N_D - N_A$

**Minoritätsträger-Konzentration:**  $p_{n0} \approx n_i^2 / (N_D - N_A)$

**Ladungsträgerkonzentration im p-leitenden Halbleiter:****Einfachdotierung:** (Es wird nur mit  $N_A$  dotiert)  $N_A \gg n_i$ **Majoritätsträger-Konzentration:**  $p_{p0} \approx N_A^- \approx N_A$  (Dotierungskonzentration)**Minoritätsträger-Konzentration:**  $n_{p0} \approx n_i^2 / N_A$ **Mehrfachdotierung:**  $N_A > N_D$  und  $(N_A - N_D) \gg n_i$ **Majoritätsträger-Konzentration:**  $p_{p0} \approx N_A^- - N_D^+ \approx N_A - N_D$ **Minoritätsträger-Konzentration:**  $n_{p0} \approx n_i^2 / (N_A - N_D)$ **Leitfähigkeit eines Halbleiterkristalls:**mit  $\mu$  siehe Tabelle, AngabeLeitfähigkeit:  $\kappa = e \cdot (n \cdot \mu_n + p \cdot \mu_p)$  hohe Dotierungskonzentration  $\rightarrow$  hohe Wärmeschwingung  $\rightarrow$  geringe Beweglichkeit  $\rightarrow$  geringe LeitfähigkeitLadungsträgerbeweglichkeit:  $\mu(T) = \mu(T_0) \cdot \left(\frac{T}{T_0}\right)^{-\frac{3}{2}}$   $\rightarrow$  temperaturabhängig

$$[\mu] = \frac{\text{cm}^2}{\text{Vs}}, [\kappa] = \frac{\text{S}}{\text{m}}$$

**Das Energie-Bändermodell: Valenzband und Leiterband**

Bei Hoher Energiedichte sind die einzelnen Energieniveaus nicht mehr voneinander unterscheidbar

Valenzband  $\rightarrow$  Elektron kann sich leicht lösen und frei bewegen (durch Wechselwirkung benachbarte Atome)**Bei Metalle:** Valenzband und Leitungsband überlappen  $\rightarrow$  keine verbotene Zone  $\rightarrow$  keine Energiezufuhr nötig  $\rightarrow$  leiten**Bei Nichtleitern:** Elektronen können sich im Valenzband nicht frei bewegen da zwischen Atomen „eingesperrt“  $\rightarrow$  fürs leiten müssten sie ins Leitungsband, das verhindert eine Bandlücke  $\triangleq$  verbotenes Band  $\triangleq W_G$  (Energie wird benötigt)**Bei Halbleiter:** Bandlücke ist klein (bereits bei Raumtemperatur gelangen paar ins Leitungsband)  $W_G$  wird überwunden**Für Eigenleitung gilt:**  $n_0 \cdot p_0 = n_i^2 = N_C \cdot N_V \cdot e^{-\frac{W_G}{k \cdot T}}$  mit Bandabstand:  $W_G = W_C - W_V$ **Für dotierten Halbleiter (Störstellenleitung):** Dotieren mit Fremdatomen  $\rightarrow$  Energie-Terme im verbotenen Band (Störterme)**Temperaturabhängigkeit von Halbleiterdaten:**f Für  $\mu_n, \mu_p, N_C, N_V \rightarrow f(T) = f(T_0) \cdot \left(\frac{T}{T_0}\right)^{-\frac{3}{2}}$ Für  $W_G$ :  $W_G(T) = W_{G0} - \frac{\alpha \cdot T^2}{T + \beta}$ 

	$W_{G0}$ [eV]	$\alpha$ [eV·K <sup>-2</sup> ]	$\beta$ [K]
Si	1,17	$4,73 \cdot 10^{-4}$	636
Ge	0,74	$4,44 \cdot 10^{-4}$	235
GaAs	1,52	$5,41 \cdot 10^{-4}$	204

**Der pn-Übergang:** (Grenzschicht zwischen n-dotierten und p-dotierten Zone)**Raumladungsdichte:** Dichte der ortsfesten negativen Ladung in der p-Zone:  $\rho_p = -e \cdot N_A^-$ 

$$x_p \cdot \rho_p = x_n \cdot \rho_n$$

Dichte der ortsfesten positiven Ladung in der n-Zone:  $\rho_n = e \cdot N_D^+$ **Diffusionsspannung:** = gegenseitige Aufladung von p- und n-Zone erzeugt eine elektrische Spannung zwischen den beiden Zonen**Sperrschichtweite:**  $W_s$  (Raumladungszone) erstreckt sich von  $x_p$  bis  $x_n$ Sperrschichtweite ohne äußere anliegende Spannung:  $W_{S0} = \sqrt{\frac{\epsilon_0 \cdot \epsilon_r}{e} \cdot \left(\frac{1}{N_A} + \frac{1}{N_D}\right) \cdot U_D}$ Sperrschichtweite mit Sperrspannung:  $W_{SR} = \sqrt{\frac{2\epsilon}{e} \cdot \left(\frac{1}{N_A} + \frac{1}{N_D}\right) \cdot (U_D + U_R)} = W_{S0} \cdot \sqrt{\frac{U_D + U_R}{U_D}}$  ( $U_R$  positiv einsetzen)**Sperrschichtkapazität:** Die Raumladungszone mit den enthaltenen elektrischen Ladungen wirkt wie ein geladener Plattenkondensator.Sperrschichtkapazität Allgemein:  $C_S = \epsilon_0 \cdot \epsilon_r \cdot \frac{A}{W_S}$ Sperrschichtkapazität Sperrpolung:  $C_S = \frac{C_S}{A} = \frac{\epsilon}{W_{SR}} = C_{S0} \cdot \sqrt{\frac{U_D}{U_D + U_R}}$   $C_{S0}$  = Kapazität des spannungslosen pn-Übergangs

## Spannung am pn-Übergang:

Sperrpolung:  $U_{pn} = U_D + U_R$  mit  $U_R$ = Sperrspannung  $\rightarrow$  Spannung die man außen anlegt

Flusspolung:  $U_{pn} = U_D - U_F$

## Durchbruch bei hoher Feldstärke in Sperrrichtung:

1.) Lawinen-Effekt bei ( $>8V$ )

Übergang der beiden Effekte zwischen 6 und 8 Volt Durchbruchspannung

2.) Zener Effekt bei ( $<6V$ )

**Temperaturabhängigkeit der Kennlinie:** (Beeinflusst alle Bereiche der Kennlinie eines pn-Überganges)

Durchlassspannung (bei unverändertem Strom)	$\Rightarrow U_{D2} = U_{D1} + D_\theta \cdot \Delta\theta$	
mit $D_\theta$ = Temperaturdurchgriff	$\approx \Rightarrow D_\theta \approx \frac{\Delta U_F}{\Delta T} \approx -2mV/K$	(Gleichhaltung Durchlassstrom)

Durchlassstrom (bei unveränderter $U_F$ )	$\Rightarrow I_F(T) = I_F(T_0) \cdot e^{0,05K^{-1} \cdot (T-T_0)}$
---	--

Sperrstrom	$\Rightarrow I_R(T) = I_R(T_0) \cdot e^{0,07K^{-1} \cdot (T-T_0)}$
das bedeutet $\approx$ eine Verdoppelung pro 10K $\Rightarrow$	$I_R(T) = I_R(T_0) \cdot 2^{\frac{\Delta\theta}{10K}}$

Spannungsdurchbruch (1. Durchbruch)	$\Rightarrow U_Z(T) = U_Z(T_0) \cdot (1 + \alpha_{uz} \cdot \Delta\theta)$
Zenerdurchbruch	mit $\alpha_{uz} \approx -0,1\% / K$
Lawinendurchbruch	mit $\alpha_{uz} \approx +0,1\% / K$

## Die Diode

Sperrpolung  $\rightarrow$  Sperrrichtung  $\rightarrow$  nur kleiner Sperrstrom fließt

Flusspolung  $\rightarrow$  Durchlassrichtung  $\rightarrow$  mit Spannung exponentiell stark ansteigender Durchlassstrom

Gesamtstrom durch idealen pn-Übergang  $I = I_S \cdot \left( e^{\frac{U}{U_T}} - 1 \right)$

Differenzielle Widerstand:  $r_F = \frac{\Delta U}{\Delta I}$

Lineare Ersatzschaltung der Diode in Durchlassrichtung  $U_F = U_{F0} + r_F \cdot I_F$

( $U_{F0}$  ist Schnittpunkt der Tangente mit der X-Achse U im Kennliniendiagramm)

Durchlassverluste bei Gleichstrom: Verlustleistung  $P_D \approx U_F \cdot I_F$

Durchlassverluste bei zeitlich verändertem Strom: Verlustleistung  $P_D = U_{F0} \cdot I_{FAV} + r_F \cdot (I_{Feff})^2$  bei Sinus mal 0,5

mit  $I_{FAV}$  = arithmetischer Mittelwert des Durchlassstroms,  $I_{Feff}$  = Effektivwert des Durchlassstroms

**Z-Diode:** Bauteile die im Durchbruchbereich betrieben werden.



**Kapazitätsdiode:** spannungsabhängig veränderbare Sperrschichtkapazität genutzt



**PIN-Diode:** am pn-Übergang ist ein eingeschobener, nicht-dotierter (intrinsischer) Bereich



$\rightarrow$  Sperrspannung wird erhöht

**Photodiode:** pn-Übergang wird beleuchtet  $\rightarrow$  elektron-Loch-Paare erzeugt  $\rightarrow$  Fotostrom (Sperrstrom) fließt

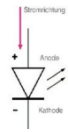


**Schottky-Diode:** kein pn-Übergang sondern Metall-Halbleiterübergang

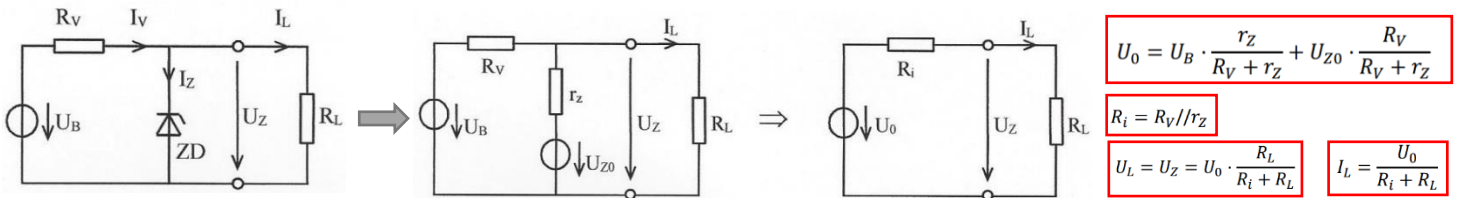


+ Kleinere Durchlassspannung, + Nur eine Ladungsträgerart ist für den Stromtransport zuständig → Keine Speicherladung, deshalb praktisch keine Rückstromspitze beim Ausschalten. Dadurch sehr kleine Umschaltverluste und Anwendung bei hohen Schaltfrequenzen möglich, - Höhere, mit der Temperatur stärker ansteigende Sperrströme als die pn-Diode, - Auf Siliziumbasis nur bis Sperrspannung 60 bis 80 Volt verfügbar (Ausnahme SiC)

**Lumineszenzdiode (LED) und Laserdiode:** Energie des Elektron-Loch-Paars  $W_g$  wird als Lichtquant frei



**Stabilisierungsschaltung mit Z-Diode** dient Erzeugung einer konstanten, relativ lastunabhängigen Gleichspannung aus einer höheren GS



**Zulässiger Arbeitsbereich der Z-Diode:**  $P_{tot} = I_{Zmax} \cdot U_{Zmax}$  Sicherheitsfaktor (z.B. 0,8)

exakt:  $I_{Zmax} = -\frac{U_{Z0}}{2r_Z} + \sqrt{\frac{P_{tot}}{r_Z} + \left(\frac{U_{Z0}}{2r_Z}\right)^2}$  (max. zulässiger Z-Strom  $I_{Zmax}$  bei  $\vartheta_j = \vartheta_{jmax}$  für  $\vartheta_0 = 25^\circ\text{C}$ )  
mit  $U_{Z0} = U_Z - r_{Zdyn} \cdot I_Z$  (ohne  $r_{th}$ )

Für grob:  $I_{Zmax} \approx \frac{P_{tot}}{U_{Zmax}}$

$T_j = T_u + R_{thJA} \cdot P_V$  mit  $T_u$  = Umgebungstemperatur, mit  $P_V = U_{Z(temp)} \cdot I_Z$

**Grenzwerte für die Versorgungsspannung  $U_B$ :**

Maximum: bei gegebenem Laststrom:

$$U_{Bmax} = (I_{Zmax} + I_L) \cdot R_V + U_{Zmax}$$

bei gegebenem Lastwiderstand:

$$U_{Bmax} = I_{Zmax} \cdot R_V + U_{Zmax} \left(1 + \frac{R_V}{R_L}\right)$$

Minimum: bei gegebenem Laststrom:

$$U_{Bmin} = (I_{Zmin} + I_L) \cdot R_V + U_{Zmin}$$

bei gegebenem Lastwiderstand:

$$U_{Bmin} = I_{Zmin} \cdot R_V + U_{Zmin} \left(1 + \frac{R_V}{R_L}\right)$$

**Grenzwerte für  $I_Z$ :**

$I_{Zgrenz} \approx \frac{P_{Zgrenz}}{U_Z}$  für  $P_{Zgrenz}$  kann man  $P_{tot}$  einsetzen

**Grenzwerte für den Vorwiderstand  $R_V$ :**

Maximum:  $R_{Vmax} = \frac{U_{Bmin} - U_{Zmin}}{I_{Zmin} + I_{Lmax}}$   $R_{Vmax} = \frac{U_{Bmin} - U_{Zmin}}{I_{Zmin} + \left(\frac{U_{Zmin}}{R_L}\right)}$

Minimum:  $R_{Vmin} = \frac{U_{Bmax} - U_{Zmax}}{I_{Zmax} + I_{Lmin}}$   $R_{Vmin} = \frac{U_{Bmax} - U_{Zmax}}{I_{Zmax} + \left(\frac{U_{Zmax}}{R_L}\right)}$

**Grenzwerte für den Lastwiderstand  $R_L$ :**

Maximum:  $R_{Lmax} = \frac{U_{Zmax} \cdot R_V}{U_B - U_{Zmax} - I_{Zmax} \cdot R_V}$

Minimum:  $R_{Lmin} = \frac{U_{Zmin} \cdot R_V}{U_B - U_{Zmin} - I_{Zmin} \cdot R_V}$

**Grenzwerte für den Laststrom  $I_L$ :**

Maximum:  $I_{Lmax} = \frac{U_B - U_{Zmin}}{R_V} - I_{Zmin}$

Minimum:  $I_{Lmin} = \frac{U_B - U_{Zmax}}{R_V} - I_{Zmax}$

## Genaue Betrachtung des differentiellen Widerstandes:

Durchbruchspannung der Z-Diode ist temperaturabhängig:  $U_Z(\vartheta) = U_Z(\vartheta_1) \cdot [1 + \alpha \cdot (\vartheta_2 - \vartheta_1)]$

Durchbruchspannung für konstante Temperatur Sperrschichttemperatur  $\vartheta_j = 25^\circ\text{C}$  :  $U_{Z(25^\circ\text{C})} = U_{Z0} + I_Z \cdot r_{Zdyn}$

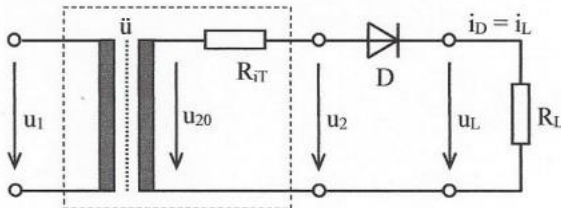
Durchbruchspannung der Z-Diode ist temperaturabhängig:  $U_{ZU} \approx U_{Z0} + r_{ZU} \cdot I_Z$  mit  $r_{ZU} = r_{Zdyn} + \alpha \cdot U_Z^2 \cdot R_{th}$

Statisches Betriebsverhalten bei  $25^\circ\text{C}$  differentieller Widerstand  $r_{zu}$  maßgebend:  $r_{ZU} = r_{Zdyn} + r_{Zth}$  mit  $r_{Zth} = \alpha \cdot U_Z^2 \cdot R_{th}$

Brummspannung am Lastwiderstand:  $U_{Brumm} \approx u_{z\sim} = \frac{r_{Zdyn}}{R_V} \cdot U_b$  (mit  $U_b$  = Wechselspannungsanteil) nur  $r_{Zdyn}$  !!!

## Netzgleichrichter:

### Einweggleichrichter (Einpuls-Mittelpunktschaltung M1):



$$u_{20} = \frac{u_1}{\sqrt{2}} = \hat{u}_{20} \cdot \sin(\omega \cdot t)$$

Nur eine Diode leitet während positive Halbwelle

Arithmetischer Mittelwert bei Einweggleichrichtung:

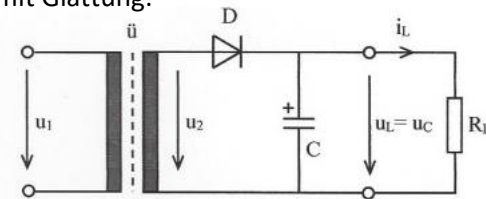
$$\bar{u}_L = 0,318 \cdot \hat{u}_L$$

Effektiv-Spannung einer Einweggleichrichtung:

$$U_{L\text{RMS}} = U_{L\text{eff}} = \frac{\hat{u}_L}{2} \approx \frac{\hat{u}_{20}}{2}$$

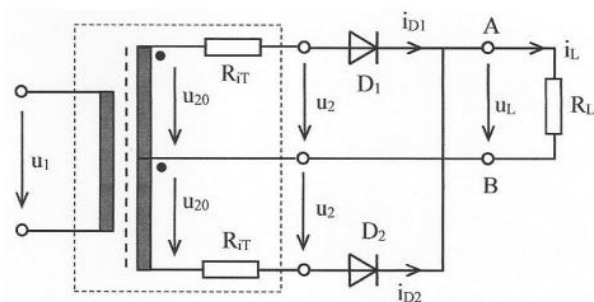
$$n = 1$$

mit Glättung:



- nur ein Nachladevorgang pro Sinusperiode
- große Kapazität erforderlich für kleine Welligkeit
- große Dioden- und Trafoverluste
- einseitige Transformator – Magnetisierung

### Zweiweggleichrichter -Mittelpunktschaltung oder Zweipuls-Mittelschaltung auch M2-Schaltung:



$$n = 1$$

positive und negative Halbwelle wird genutzt

- + nur eine Diode im Strompfad → geringere Leistungsspannungsverluste
- zweite Sekundärwicklung am Transformator erforderlich

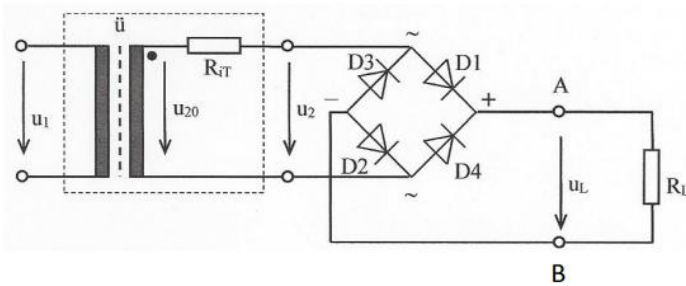
Arithmetischer Mittelwert der M2-Schaltung:

$$\bar{u}_L = 0,64 \cdot \hat{u}_L$$

Effektiv-Spannung der M2 – Schaltung

$$U_{L\text{RMS}} = U_{L\text{eff}} = \frac{\hat{u}_L}{\sqrt{2}} \approx \frac{\hat{u}_{20}}{\sqrt{2}}$$

## Brückengleichrichter (Zweipuls-Brückenschaltung) auch B2-Schaltung:



+ nur eine Sekundärwicklung

- 2 Dioden im Stromkreis = zweimal Verlustleistung

- kein gemeinsamer Bezugsleiter für Transformator und Last

Arithmetischer Mittelwert der B2-Schaltung:

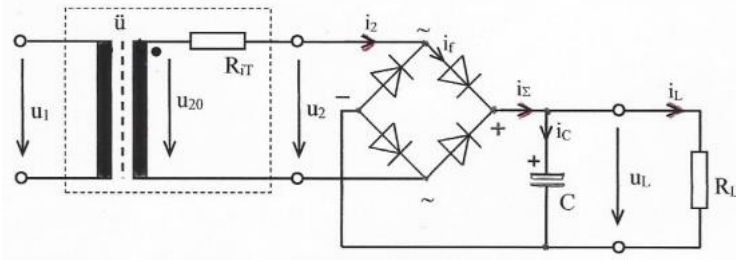
$$\bar{u}_L = 0,64 \cdot \hat{u}_L = U_{L\text{eff}} \cdot \sqrt{2} \cdot 0,64$$

Effektiv-Spannung der B2 – Schaltung

$$U_{L\text{RMS}} = U_{L\text{eff}} = \frac{\hat{u}_L}{\sqrt{2}} \approx \frac{\hat{u}_{20}}{\sqrt{2}}$$

$$n = 2$$

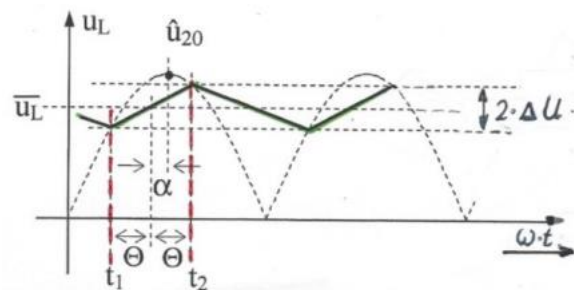
mit Glättung:



## Genauere Betrachtung der Zweiweggleichrichter:

$$\text{wenn: } \hat{u}_{20} < 20 \cdot n \cdot U_{F0} \text{ oder } R_L < 20 \cdot (R_{iT} + n \cdot r_f) \rightarrow \hat{u}_{20} - i_F \cdot R_{iT} - n(U_{F0} + i_F \cdot r_f) - i_F \cdot R_L = 0$$

## Stromflusszeit und Stromflusswinkel:



$$\text{Welligkeit der Ausgangsspannung: } U_{SS} = \Delta U$$

$$\text{Stromflusszeit: } t_F = t_2 - t_1$$

$$\text{Stromflusswinkel: } 2\theta = \omega \cdot t_F \text{ (in Bogenmaß)}$$

Symmetrierverschiebung:  $\alpha$  = Verschiebungswinkel zur Symmetrieachse

$\bar{u}_L$  = Mittelwert der Ausgangsspannung

Erforderliche Trafo-Sekundärspannung:

$$U_{20\text{RMS}} = \frac{\bar{u}_L + n \cdot U_{T0}}{\sqrt{2} \cdot \cos(\theta)}$$

mit  $\bar{u}_L$  = Klemmenspannung an Ausgangsseite

$U_{T0} = "U_{F0}" \rightarrow$  Spannungsabfall Diode 0,7 V

Transformatorstrom  $i_2$ :

$$i_2 = \hat{i}_2 \cdot \cos(\omega' t)$$

Scheitelwert  $\hat{i}_2$ :

$$\hat{i}_2 = \frac{\pi^2}{4\theta} \cdot \bar{i}_L$$

Kapazität des Dämpfungskondensators:

$$C_L = \frac{\bar{i}_L \cdot \left(\frac{T}{2} - t_F\right)}{\Delta U} = \frac{\bar{i}_L \cdot (\pi - 2\theta)}{\omega \cdot \Delta U} = \frac{\bar{i}_L \cdot \left(\frac{T}{2} - t_f\right)}{2 \cdot u_s}$$

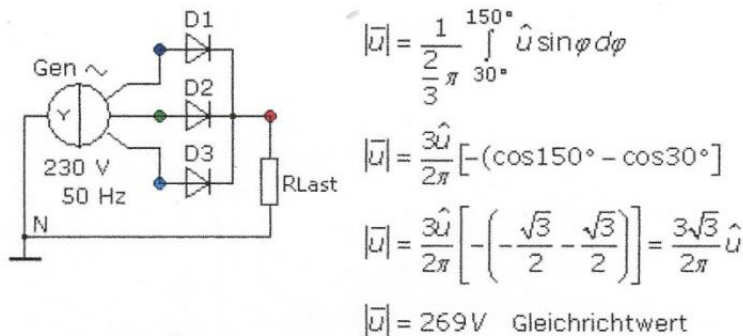
achte auf Bogenmaß

$$\text{mit } t_F = \frac{2 \cdot \theta \cdot T}{360^\circ}, \bar{i}_L = \text{Stromfluss zu Last, } \Delta U = u_{SS}$$

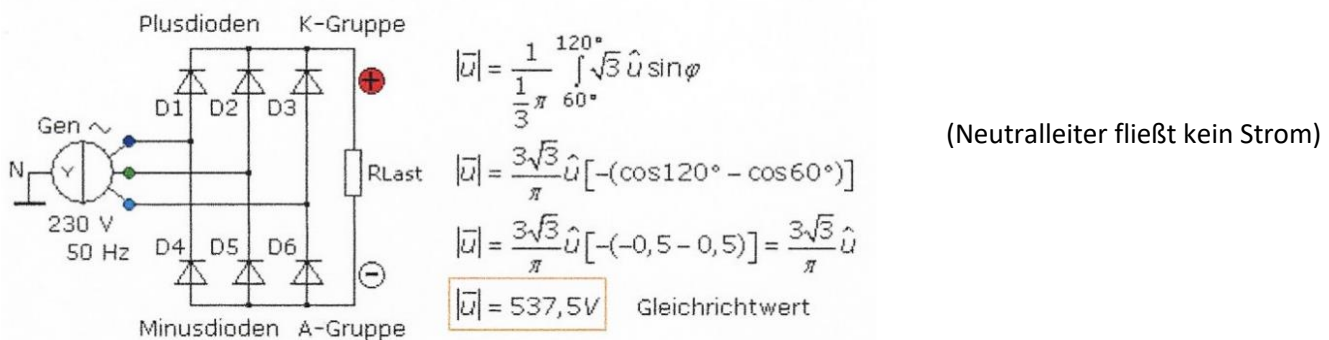


## Drehstrom Gleichrichterschaltung:

### Ungesteuerte Dreipuls Gleichrichtung – M3U

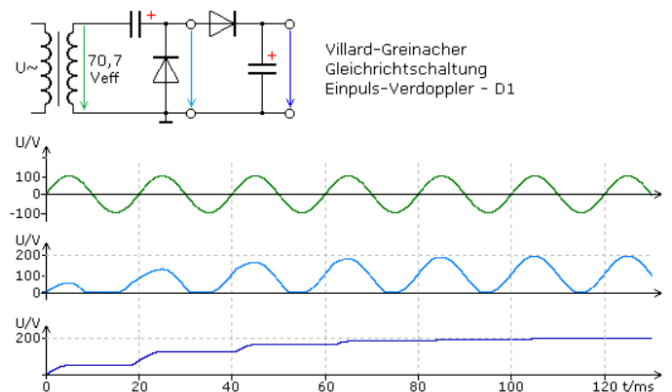
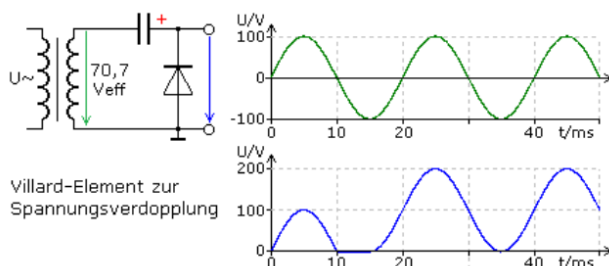


### Ungesteuerte Drehstrombrücke – B6U



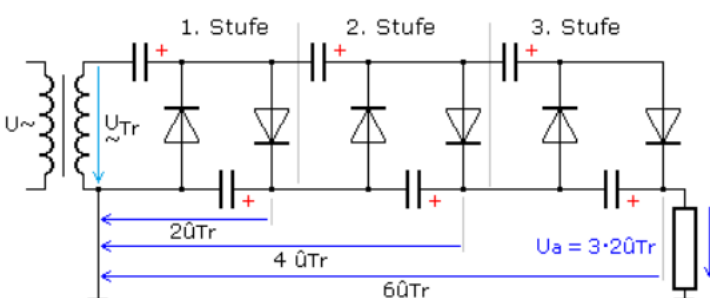
## Spannungsvervielfachung mit Diodenschaltungen:

### Einpuls-Spannungsverdoppler D1 nach Villard-Greinacher:



Positive Halbwelle → Diode sperrt → Negative Halbwelle → Diode leitet → Kondensator links negativ aufladen → Kondensator rechts Masse → Ende Negative Halbwelle → Kondensator rechts auf Scheitelwert der Wechselspannung positiv aufgeladen → positive Halbwelle → Diode sperrt → Kondensator kann nicht entladen → Spannung verschoben

### Einpuls-Spannungsvervielfacher – Hochspannungskaskade:

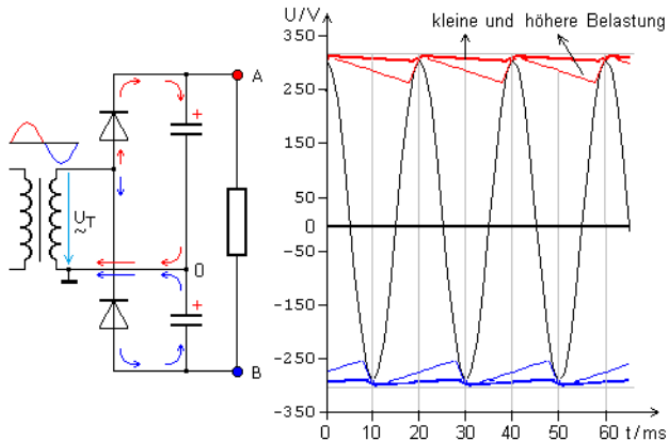


Der Diodenstrom erhöht sich mit der Stufenzahl  $n$

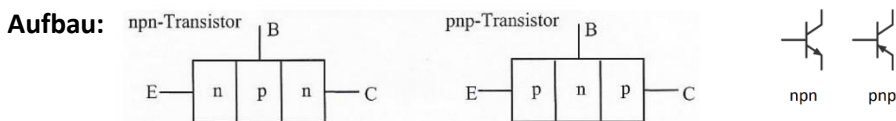
Eingangsstrom:  $i_e = n \cdot i_a$

Ausgangsspannung:  $U_a = 2 \cdot U_e \cdot n$

## Zweipuls-Spannungsverdoppler D2 – Delon-Schaltung



## Der bipolar Transistor:

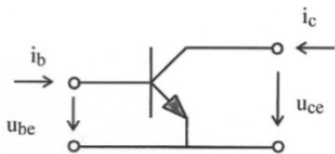


Emitter: hochdotiert, Basis: schwachdotiert und sehr dünn, Kollektor: mitteldotiert → Stromverstärkung funktioniert

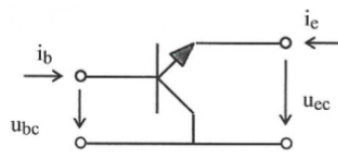
**Knotengleichung:**  $I_E + I_B + I_C = 0$  **Maschengleichung:**  $U_{CE} = U_{CB} + U_{BE}$

**Sperrstrom verdoppelt sich pro 10K**

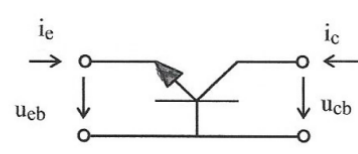
**Leistung vom Transistor:**  $P_{transistor} = U_{CE} \cdot I_C$  **Temperatur:**  $\vartheta_J = \vartheta_u + \vartheta_{tran} = \vartheta_u + (r_{th} \cdot P_{transistor})$



Emitterschaltung



Kollektorschaltung



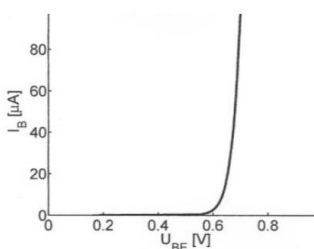
Basisschaltung

**Early-Effekt:** Einfluss von  $U_{CB}$  auf  $I_C$ , da  $U_{CB}$  Einfluss auf  $W_s$  von Kollektor-pn-Übergang und damit auf  $W_B$

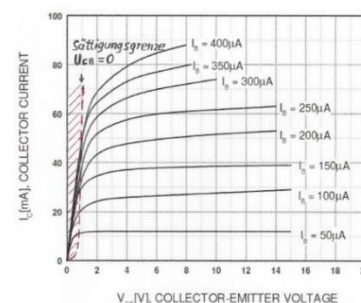
**Emitterschaltung:** (Ein und Ausgang über Emittterverbunden, auf Masse) (Ausgang am Kollektor)



**Eingangskennlinie:**  $I_B = f(U_{BE})$  ungefähr Basis-Emitter Diode



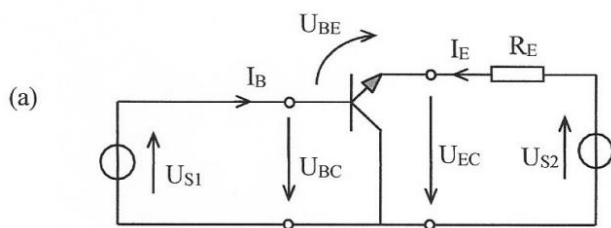
**Ausgangskennlinie:**



**Sättigungsbetrieb:** ( $U_{CE} < U_{BE}$ ) →  $U_{CB} < 0$  → Minoritätsträger werden aus Basis n.volls. abgesaugt →  $I_C$  sinkt, **Sättigungsgrenze:**  $U_{CB} = 0$



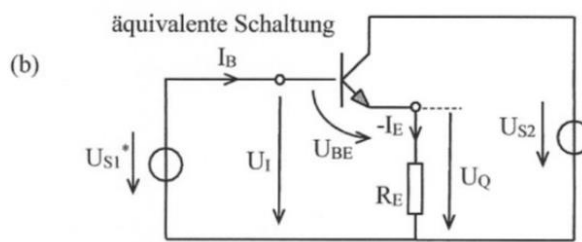
**Kollektorschaltung:** (Eingang an Basis) (Ausgang beim Emittor) (Kollektor an Betrieb Spannung)



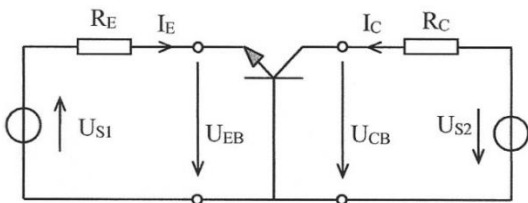
Eingangsstrom  $I_B$  Ausgangsstrom  $I_E$

**Kennlinien:** Wie in Emittor Schaltung

**Stromverstärkung:**  $B + 1$  **Spannungsverstärkung:**  $A_U \approx 1$



**Basisschaltung:** (Eingang am Emittor) (Ausgang am Kollektor) (Basis auf Masse)

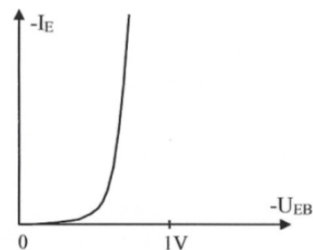


Eingangsstrom  $I_E$  Ausgangsstrom  $I_C$

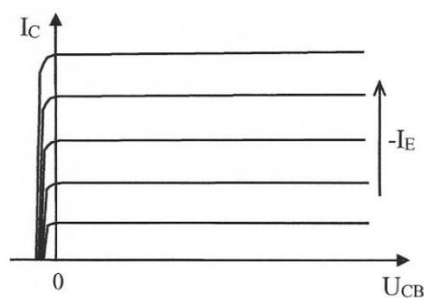
Eingangsspannung  $U_{EB}$  Ausgangsspannung  $U_{CB}$

$U_{EB}$  verändern  $\rightarrow I_E$  stark verändert  $\rightarrow I_C$  stark verändert  $\rightarrow$  Spannungsabfalländerung an  $R_C$  groß  $\rightarrow U_{CB}$  Ausgangsspannung stark verändert

Eingangskennlinie:

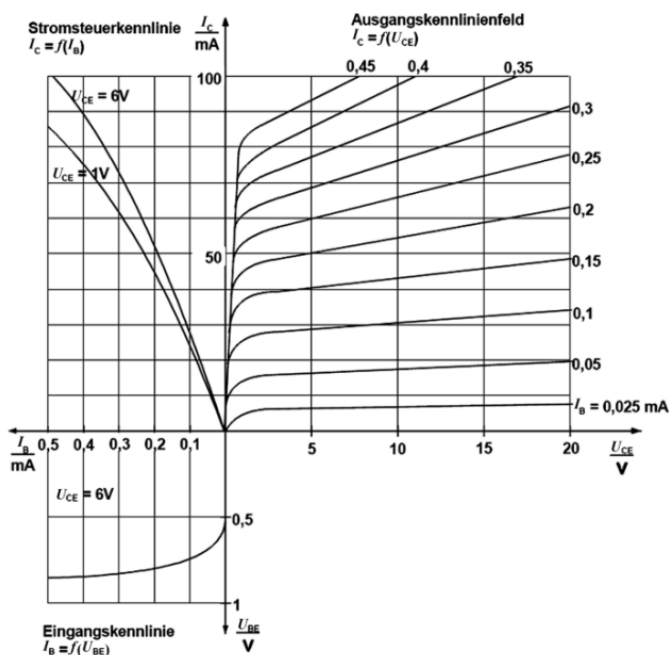


Ausgangskennlinie:

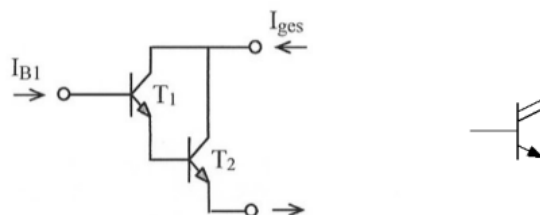


**Stromverstärkung:**  $A \approx \frac{B}{B+1} \approx 1$

**Kennlinien in Vierquadranten-Darstellung**



**Darlington- oder Super-Beta-Schaltung**



Stromverstärkung multipliziert sich:

Es gilt näherungsweise  $B_{ges} \approx B_1 \cdot B_2$   
und analog für Wechsignale  $\beta_{ges} \approx \beta_1 \cdot \beta_2$

## Arbeitspunkt des Bipolar-Transistor:

### Einstellen des Arbeitspunktes: ( $U_{CE}$ und $I_C$ )

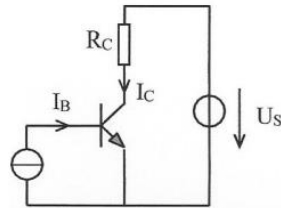
#### 1. Einprägung des Basisstromes:

Widerstand  $R_C$ :  $R_C = \frac{U_S - U_{CE}}{I_C}$

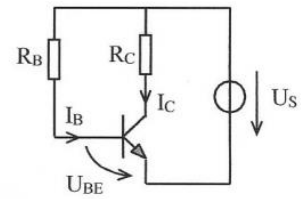
Widerstand  $R_B$ :  $R_B = \frac{U_S - U_{BE}}{I_B}$

Kollektorstrom:  $I_C \approx I_B \cdot B = \frac{U_S - U_{BE}}{R_B} \cdot B$

Kollektorspannung:  $U_{CE} = U_S - U_{R_C} = U_S - (R_C \cdot I_C)$



a): prinzipiell



b): technische Näherung durch Basis-Vorwiderstand  $R_B$

#### 2. Einprägung der Basis-Emitter-Spannung:

$$U_{BE} = U_S \cdot \frac{R_2}{R_1 + R_2} - I_B \cdot \frac{R_1 \cdot R_2}{R_1 + R_2}$$

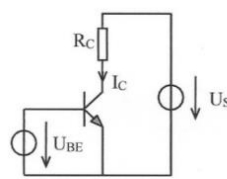
$$R_1 = \frac{U_S - U_{BE}}{I_1} = \frac{U_S - U_{BE}}{I_2 + I_B}$$

$$R_2 = \frac{U_{BE}}{I_2}$$

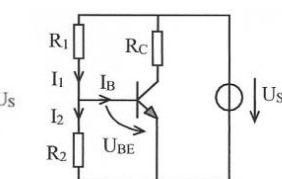
Ersatzschaltung dient zum Herleiten der obigen Formeln

$I_C$  ergibt sich aus Spannungssteuerkennlinie  $I_C = f(U_{BE})$

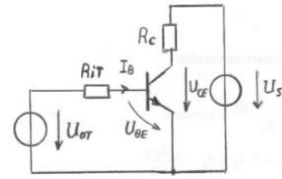
Einstellen der  $U_{CE}$   $R_C = \frac{U_S - U_{CE}}{I_C}$



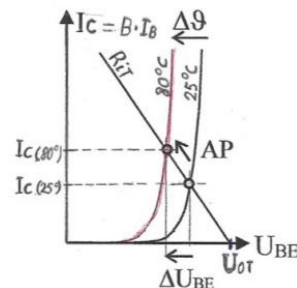
a): Prinzip



b): technische Näherung durch (Spannungsteiler)



c): Ersatzschaltung



### Stabilisierung des Arbeitspunktes:

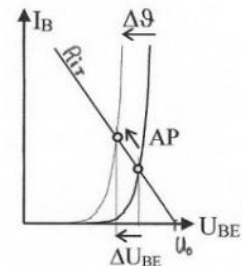
#### Einflussgrößen auf AP-Verschiebung:

##### 1. Temperaturabhängigkeit der $U_{BE}$ ( $\Delta U_{BE}$ -Effekt) (sinkt bei steigender Temperatur)

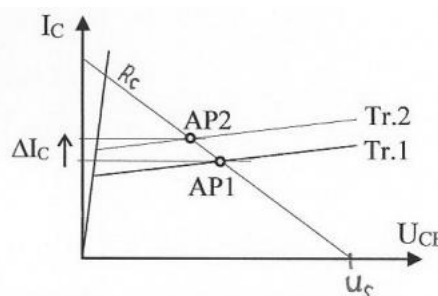
Bei Silizium-npn-Transistoren:  $D_{\vartheta U_{BE}} = \frac{\partial U_{BE}}{\partial \vartheta} \approx -2 \frac{mV}{K}$

##### 2. Änderung der Stromverstärkung $B$ ( $\Delta B$ -Effekt)

Ursache: Alterung oder Temperaturveränderung



$$\frac{B_{max}}{B_{min}} \approx 1,8 \dots 2,6$$

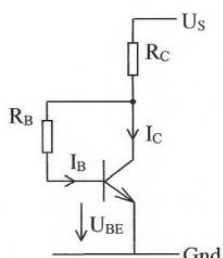


### Gegenkopplungsmaßnahmen zur Arbeitspunkt-Stabilisierung:

#### Basisstrom-Einprägung mit Spannungsgegenkopplung (Parallelgegenkopplung)

$$R_B = \frac{U_{CE} - U_{BE}}{I_B} \quad R_C = \frac{U_S - U_{CE}}{I_C + I_B} \quad I_C \approx B \cdot \frac{(U_S - U_{BE})}{R_B + B \cdot R_C}$$

Steigt  $I_C$  um  $\Delta I_C$  infolge  $\Delta B$ -Effekt  $\rightarrow U_{CE}$  sinkt  $\rightarrow R_B$  am Kollektorpotential  $\rightarrow I_B$  sinkt  $\rightarrow I_C$  wieder reduziert



## Basis-Spannungseinprägung mit Strom-Gegenkopplung (Reihengegenkopplung)

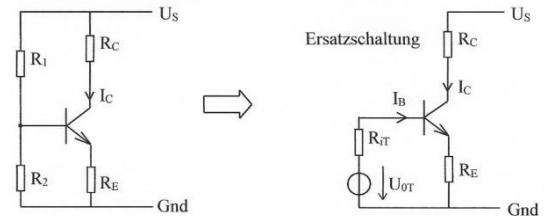
$$R_E = \frac{U_{RE}}{-I_E} \approx \frac{U_{RE}}{I_C} \quad \text{Gl. 10.9}$$

$$R_C = \frac{U_S - U_{CE} - U_{RE}}{I_C} \quad \text{Gl. 10.10}$$

$$R_1 = \frac{U_S - U_{BE} - U_{RE}}{I_{R_2} + I_B} \quad \text{Gl. 10.11}$$

$$R_2 = \frac{U_{BE} + U_{RE}}{I_{R_2}} \quad \text{Gl. 10.12}$$

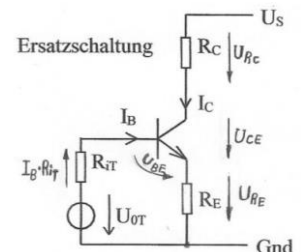
$$U_{CE} = U_S - (I_C \cdot R_C) - (I_C \cdot R_E)$$



Steigt  $I_C$  um  $\Delta I_C$  infolge  $\Delta U_{BE}$ -Effekt  $\rightarrow$  Spannungsabfall  $U_{RE}$  erhöht  $\rightarrow U_{OT}$  const  $\rightarrow I_B$  kleiner  $\rightarrow$  B-Kopplung  $\rightarrow I_C$  kleiner

AP einer bereits dimensionierten Schaltung berechnen:

$$U_{OT} = U_S \cdot \frac{R_2}{R_1 + R_2} \quad \text{mit } R_{iT} = \frac{R_1 \cdot R_2}{R_1 + R_2} \quad I_C \approx B \cdot \frac{U_{OT} - U_{BE}}{R_{iT} + B \cdot R_E}$$



Für  $B \gg 1 \rightarrow I_E \approx I_C$

## Verfahren zur Berechnung von Abweichungen des Arbeitspunktes

$$\Delta I_C = f(\Delta U_{BE}, \Delta I_{CB0}, \Delta B, \Delta U_S, \Delta R_x)$$

Berechnung von Abweichungen des Arbeitspunktes einer gegebenen Schaltung:

für  $\Delta U_{BE}$ -Effekt:

$$\Delta I_C \approx \frac{B}{R_{iT} + B} \cdot 2 \frac{mV}{K} \cdot \frac{\Delta \vartheta}{R_E}$$

Bzw. wenn  $R_{iT}$  vernb.  $\Delta I_C \approx \frac{2mV}{K} \cdot \frac{\Delta \vartheta}{R_E}$  Ergebnis mit Präfix m, für  $I_C$  neu weitere Rechnung

Für  $\Delta B$ -Effekt:

$$\frac{\Delta I_C}{I_C} = \frac{R_{iT}}{R_E} \cdot \frac{B_{max} - B_{min}}{B^2} \quad \text{mit } R_{iT} = \frac{R_1 \cdot R_2}{R_1 + R_2}$$

Bzw. wenn  $R_{iT}$  vernb.

$$\Delta I_C \approx \frac{2mV}{K} \cdot \frac{\Delta \vartheta}{R_E}$$

$$\frac{\Delta I_C}{I_C} = \frac{R_1 \cdot R_2}{(R_1 + R_2)} \cdot \frac{B_{max} - B_{min}}{B^2 \cdot R_E}$$

## Stabilisierung des Arbeitspunktes bei der Schaltungsdimensionierung:

Dimensionierung des Emittorwiderstand  $R_E$

$$R_E \geq \frac{2mV}{K} \cdot \frac{\Delta \vartheta}{\Delta I_C}$$

Dimensionierung des Spannungsteilers  $R_1, R_2$

$$R_{iT} \leq \frac{\Delta I_C}{I_C} \cdot R_E \cdot \frac{(B_{typ})^2}{B_{max} - B_{min}}$$

mit  $R_{iT} = R_1 // R_2$

## Vierpoltheorie:

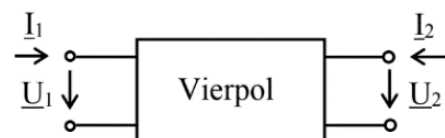
Kleinsignal-Stromverstärkung:  $h_{fe} = h_{21e} = \beta \approx \frac{\Delta U_{BE}}{\Delta I_B}$

Eingangsimpedanz:  $h_{ie} = h_{11e} = r_{be} = \frac{\Delta I_C}{\Delta I_B}$

Ausgangsadmittanz:  $h_{oe} = h_{22e} = \frac{1}{r_{ce}} = \frac{\Delta I_C}{\Delta U_{CE}}$

Übertragungsverhältnis der Gegenspannung:  $h_{re} = h_{12e}$  vernachlässigbar

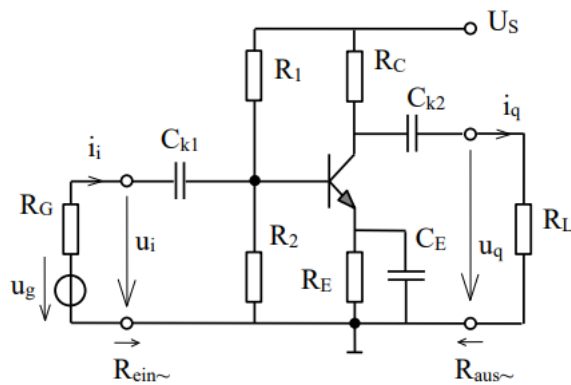
$$h_{xye/AP} = H_{eI} \cdot H_{eU} \cdot h_{platzhalter}$$



Vierpolgleichungen mit H-Parametern (Hybrid-Parameter)

$$\begin{aligned} U_1 &= H_{11} \cdot I_1 + H_{12} \cdot U_2 \\ I_2 &= H_{21} \cdot I_1 + H_{22} \cdot U_2 \end{aligned}$$

## Wechselspannungsverstärker in Emitterschaltung:



### Eingangswiderstand

$$R_{\text{ein}\sim} = R_1 // R_2 // r_{be} = R_{iT} // r_{be}$$

### Ausgangswiderstand

$$R_{\text{aus}\sim} = r_{ce} // R_C$$

### Spannungsverstärkung (Ausgang)

$$V_u = \frac{u_q}{u_i} = V_{u0} \cdot \frac{R_L}{R_L + R_{\text{aus}\sim}}$$

### Leerlauf-Spannungsverstärkung

$$V_{u0} = \frac{u_{q0}}{u_i} = \frac{-i_b \cdot \beta \cdot R_{\text{aus}\sim}}{i_b \cdot r_{be}} = -\beta \cdot \frac{R_{\text{aus}\sim}}{r_{be}}$$

### Stromverstärkung (Ausgang belastet mit $R_L = 12 \text{ k}\Omega$ )

$$V_i = \frac{i_q}{i_i} = \frac{u_q/R_L}{u_i/R_{\text{ein}\sim}} = V_u \cdot \frac{R_{\text{ein}\sim}}{R_L} = V_{u0} \cdot \frac{R_{\text{ein}\sim}}{R_{\text{aus}\sim} + R_L}$$

### Leistungsverstärkung (Ausgang)

$$V_p = \frac{p_q}{p_i} = \frac{u_q \cdot i_q}{u_i \cdot i_i} = V_u \cdot V_i$$

$$V_{u0} = \frac{-\beta \cdot r_{ce} \cdot [(R_{E\sim} + r_{ce})/R_C]}{(R_{E\sim} + r_{ce}) \cdot [(\beta + 1) \cdot R_{E\sim} + r_{be}]}$$

Mit  $r_{ce} \gg R_{E\sim}$  und  $r_{ce} \gg R_C$  wird daraus

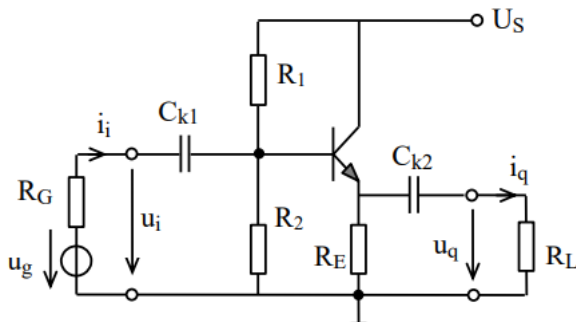
Gilt auch  $r_{be} \ll (\beta + 1) \cdot R_{E\sim}$ , so ergibt sich

$$V_{u0} \approx \frac{-\beta \cdot R_C}{(\beta + 1) \cdot R_{E\sim} + r_{be}}$$

$$V_{u0} \approx -\frac{R_C}{R_{E\sim}}$$

Transitfrequenz: die Frequenz wo Verstärkung auf 1 abfällt

## Wechselspannungsverstärker in Kollektorschaltung:



$$R_{\text{ein}\sim} = R_1 // R_2 // [r_{be} + (\beta + 1) \cdot (R_E // R_L // r_{ce})]$$

$$R_{\text{aus}\sim} = R_E // r_{ce} // \left[ \frac{r_{be} + (R_G // R_1 // R_2)}{\beta + 1} \right]$$

$$V_{u0} = \frac{(\beta + 1) \cdot (r_{ce} // R_E)}{r_{be} + (\beta + 1) \cdot (r_{ce} // R_E)} = \frac{(r_{ce} // R_E)}{r_{be} + (r_{ce} // R_E)}$$

$$V_u = V_{u0} \cdot \frac{R_L}{R_{\text{aus}\sim} + R_L}$$

	Emitterschaltung	Kollektorschaltung <sup>(18)</sup>	Basisschaltung
$R_{\text{ein}\sim}$	mittel 7 kΩ	groß (100 kΩ) 17 kΩ	klein 50 Ω
$R_{\text{aus}\sim}$	mittel 10 kΩ	klein (10 Ω) 10 Ω	mittel 10 kΩ
$V_{u0}$	groß 170	$\leq 1$ (0,99) 0,993	groß 180
$V_i$	mittel / groß 50	mittel / (groß) (90) 17	$\leq 1$ 0,5
$V_p$	sehr groß 5000	mittel / (groß) (90) 16	mittel 40
$\varphi(u_q)$	180°	0°	0°

## Legende für Formelzeichen:

$n_0$	Konzentration negativer Ladungsträger (Elektronen)
$p_0$	Konzentration positiver Ladungsträger (Löcher)
$n_i$	Gleichgewichtskonzentration, Ladungsträgerdichte, Intrinsic-Zahl
$W_G$	$\Delta E$ zwischen Valenz und Leitungsband $\rightarrow$ Bandabstand
$W_C$	Leitband-Kante
$W_V$	Valenzband-Kante
$W_F$	Fermi-Niveau (Fermi-Kante)
$W_D$	Energie-Niveau der Störterme
$W_s$	Sperrschichtweite
$W_{vac}$	Vakuumenergie
$W_M$	Austrittsarbeit
$T_j$	Sperrschichttemperatur
$T_u$	Umgebungstemperatur
$u_1$	primärseitige Klemmenspannung des Trafos
$u_{20}$	sekundärseitige Leerlaufspannung des Trafos
$u_2$	sekundärseitige Klemmenspannung des Trafos
$R_{IT}$	Ersatzwiderstand für Wicklungswiderstand
$\ddot{u}$	Übersetzungsverhältnis

$\mu$	Ladungsträger-Beweglichkeit
$N_C$	Effektive Zustandsdichte vom Leitungsband
$N_V$	Effektive Zustandsdichte vom Valenzband
$N_D^+$	Konzentration der ionisierten Donatoren
$N_A^-$	Konzentration der ionisierten Akzeptoren
$n_{n0}$	Konzentration der Elektronen im n-Halbleiter
$p_{n0}$	Konzentration der Löcher in n-Halbleiter
$n_{p0}$	Konzentration der Elektronen im p-Halbleiter
$p_{p0}$	Konzentration der Löcher im p-Halbleiter
$\kappa$	Leitfähigkeit
$U_R$	Sperrspannung
$U_D$	Diffusionspannung
$U$	Anliegende äußere Spannung
$U_T$	Temperaturspannung
$I_s$	Sperrsättigungsstrom

## Konstanten:

pn-Übergang Temperatur Energiebändermodell Leitfähigkeit

$k$	Bolzman-Konstante	$k = 1,38 \cdot 10^{-23} \frac{Ws}{K}$
$e$	Elementarladung	$e = 1,6 \cdot 10^{-19} As$
$K$	Kelvin	$^{\circ}C + 273,15 = K$
$?$	Temperaturdurf??	-2 mV/K
$U_{BE}$	Basis-Emitter-Spng.	0,7V
$W_G$	Bei Silizium	1,12eV= 1,12· 1,6 · 10 <sup>-19</sup> Ws

Dichte $n_n$ Metall	$5 \cdot 10^{21} cm^{-3} < n_n < 5 \cdot 10^{22} cm^{-3}$

Merkhilfen für Umrechnungen				
K	Kelvin	$^{\circ}C + 273,15 = K$		

$10^{24}$	Yotta	Y
$10^{21}$	Zetta	Z
$10^{18}$	Exa	E
$10^{15}$	Peta	P
$10^{12}$	Tera	T
$10^9$	Giga	G
$10^6$	Mega	M
$10^3$	Kilo	k
$10^2$	Hekto	h
$10^1$	Deka	da

$10^{-1}$	Dezi	d
$10^{-2}$	Zenti	c
$10^{-3}$	Milli	m
$10^{-6}$	Mikro	$\mu$
$10^{-9}$	Nano	n
$10^{-12}$	Piko	p
$10^{-15}$	Femto	f
$10^{-18}$	Atto	a
$10^{-21}$	Zepto	z
$10^{-24}$	Yokto	Y

$$\frac{x}{2\pi} = \frac{\alpha}{360^{\circ}}$$

Komma nach links  $\rightarrow 10^1$  Komma nach rechts  $\rightarrow 10^{-1}$